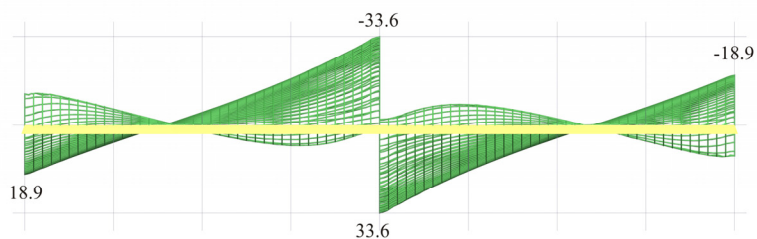
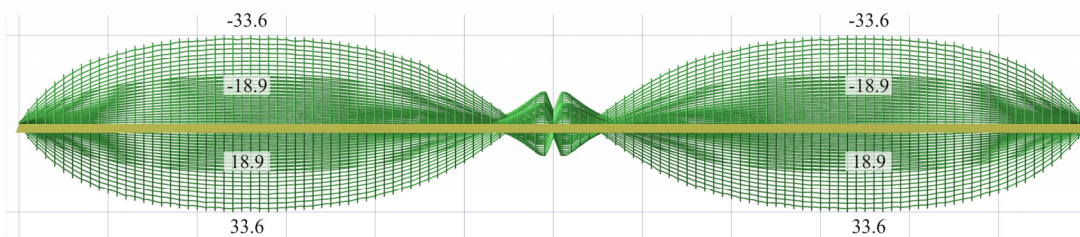


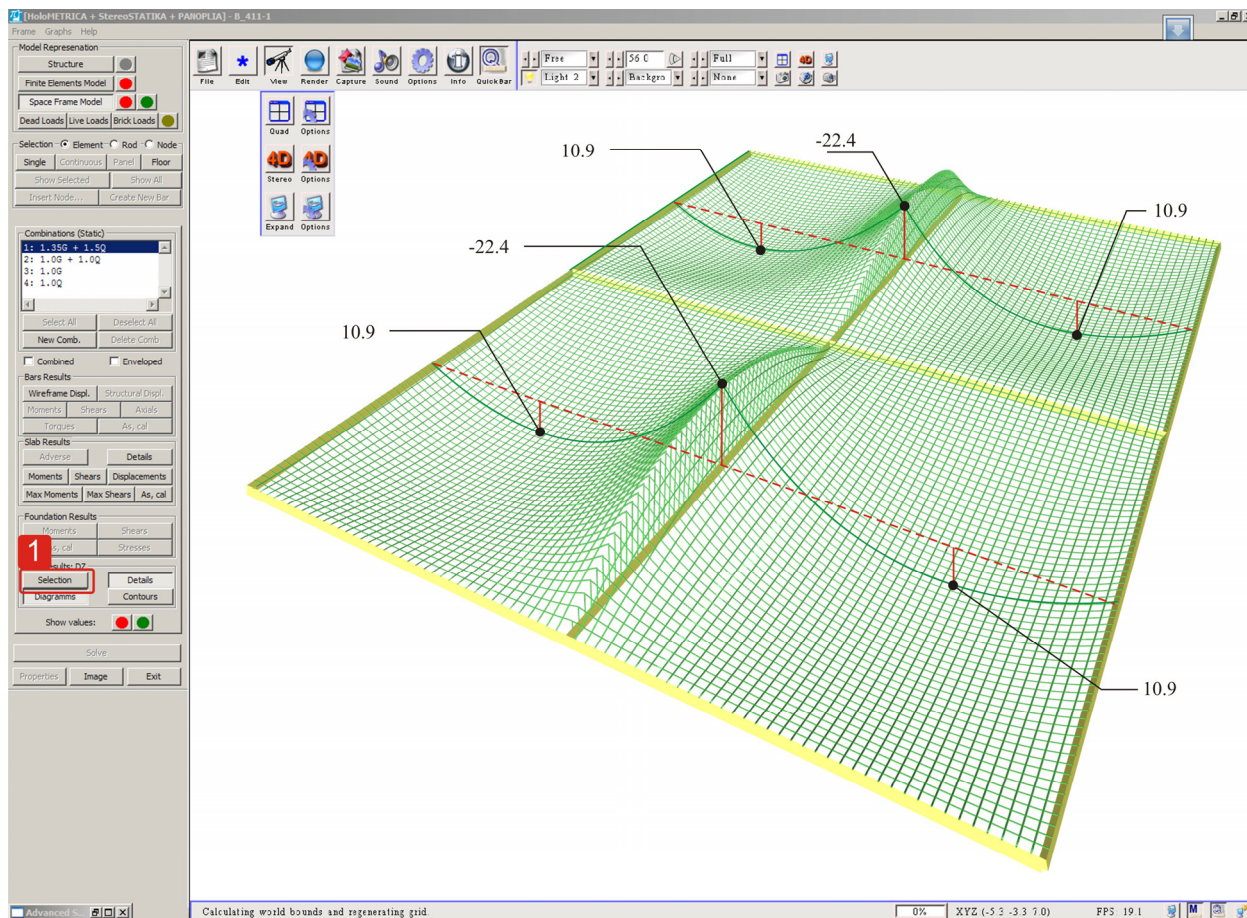
Εικόνα 4.2.2-10: Στην ενότητα Slab Results: Με 2^η φορά στα “Displacements”¹ σβήνουν τα βέλη. Στην ενότητα FEM Results: Με “Details”² ορίζουμε κατανομή ανά 0.1 m, με “Selection”, “Bending”, “V11” και με “Diagrams”³ παράγεται η κατανομή των $[V_x]$ σε 3D.



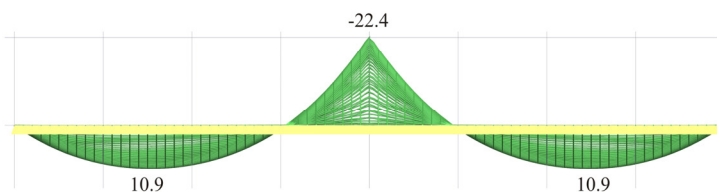
Εικόνα 4.2.2-11: Με “M”, “View”, “Options” και “Front”, “OK” και “Quad” απεικονίζεται η όψη της 3D κατανομής των τεμνουσών δυνάμεων $[V_x]$.



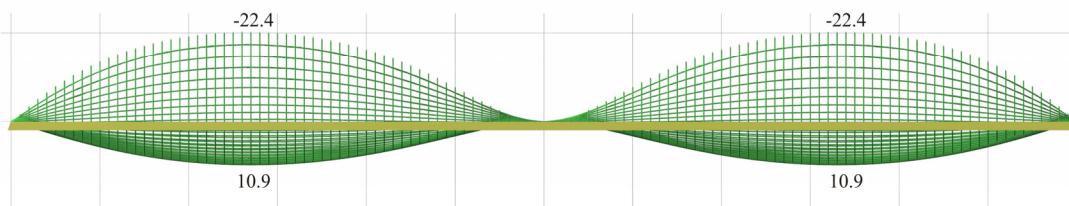
Εικόνα 4.2.2-12: Με “View”, “Options”, “Rear” απεικονίζεται η πλάγια όψη της 3D κατανομής των τεμνουσών δυνάμεων $[V_x]$.



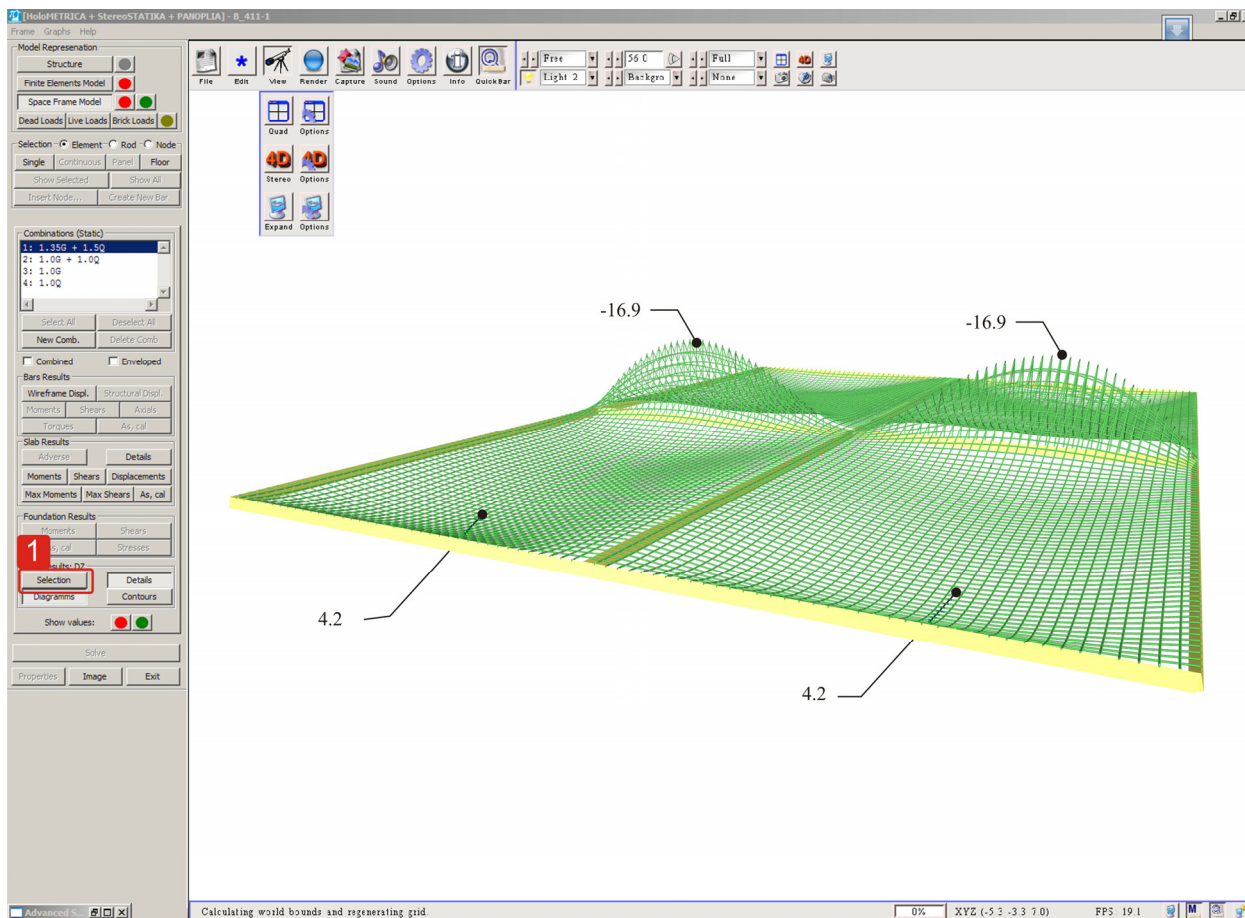
Εικόνα 4.2.2-16: Με “Selection”¹, “Bending”, “M11” και με “Diagrams” παράγεται η κατανομή των $[M_x]$ σε 3D.



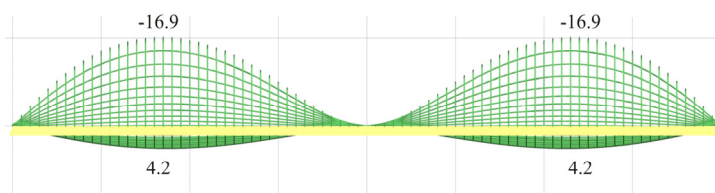
Εικόνα 4.2.2-17: Με “View”, “Options”, “Front” και στη συνέχεια “Quad” απεικονίζεται η όψη της 3D κατανομής των ροπών κάμψης $[M_x]$.



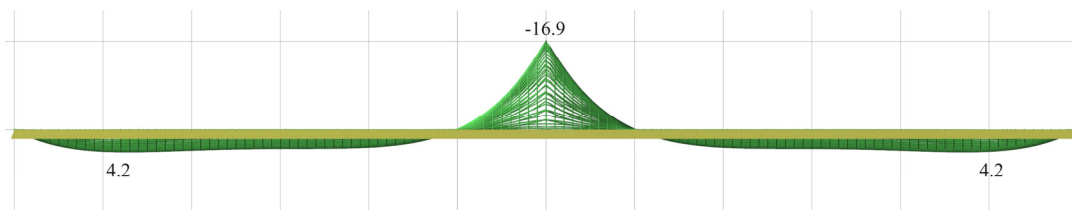
Εικόνα 4.2.2-18: Με “View”, “Options”, “Rear” απεικονίζεται η πλάγια όψη της 3D κατανομής των ροπών κάμψης $[M_x]$.



Εικόνα 4.2.2-19: Με “Selection”, “Bending”, “M22” και με “Diagrams” παράγεται η κατανομή των $[M_y]$ σε 3D.



Εικόνα 4.2.2-20: Με “View”, “Options”, “Front” και στη συνέχεια “Quad” προκύπτει η όψη της 3D κατανομής των ροπών κάμψης $[M_y]$.



Εικόνα 4.2.2-21: Με “View”, “Options”, “Rear” απεικονίζεται η πλάγια όψη της 3D κατανομής των ροπών κάμψης $[M_y]$.